



**UNIVERSITÀ DEGLI STUDI DI ROMA
TOR VERGATA**

FACOLTÀ DI INGEGNERIA

CORSO DI LAUREA IN INGEGNERIA DELL'AUTOMAZIONE

A.A. 2020/2021

Tesi di Laurea

Sviluppo di algoritmi di controllo delle correnti nelle bobine poloidali di macchine per la fusione Tokamak, con riguardo al design sistemico per la cooperazione tra sistemi embedded per l'attuazione, misurazione e centrali di controllo.

RELATORE

Daniele Carnevale

CANDIDATO

Emanuele Alfano

CORRELATORI

Marco Passeri

Dedico questa tesi ai miei cari nonni.

Grazie per aver sempre creduto in me.

Indice

Ringraziamenti	1
Introduzione	3
1 Elementi Costitutivi	4
1.1 Trasformatore	4
1.2 Sensore di Corrente	5
1.2.1 Metodo di acquisizione	5
1.3 Driver di Corrente - IBT-2	6
1.3.1 Connessione di Controllo	7
1.3.2 Benchmark Driver	8
2 Catena di Acquisizione	10
2.1 Schema di acquisizione	10
2.1.1 Sample and Hold alla frequenza di campionamento	10
2.1.2 Storage su file delle informazioni	10
2.2 Embedded Message Pack (EMP)	10
2.2.1 Metodo di codifica	10
2.2.2 Struttura del codice	10
2.2.3 Benchmark	10
2.3 Post Elaborazione con Matlab	10

3	Modello teorico	11
3.1	Modellazione Fisica	11
3.2	Funzione di trasferimento	11
4	Controllo in Retroazione dall'uscita	12
4.1	Modello di controllore	12
4.2	Esperimenti	12
5	Conclusioni e sviluppi futuri	13
	Appendice A - Codice Arduino	14
5.1	Set-up Registri	14
5.2	Generatore di Segnale	16
5.2.1	Segnali Base	16
5.2.2	Segnali Composti	17
	Appendice B - Codice EMP	18
	Appendice C - Matlab Post Elaboration	19
	Elenco delle figure	20

Ringraziamenti

Questa tesi è stata resa possibile dal contributo nella mia vita di tante persone, che giorno per giorno mi hanno sempre dato il loro sostegno, a voi dedico questa mia Tesi.

Un ringraziamento speciale alla mia famiglia, in particolare a mia **Madre** e mio **Padre**: è grazie al vostro sostegno e incoraggiamento se oggi sono riuscito a raggiungere questo traguardo.

La forza di arrivare qui, oggi, però non è dovuta solo a loro, devo per forza ringraziare dell'affetto e il sostegno speciale da parte dei miei cari amici, che ogni giorno hanno condiviso con me gioie, sacrifici e successi, senza voltarmi mai le spalle, mi hanno dato la forza di arrivare a questo prezioso traguardo. **Filippo, Gabriele, Marta**, grazie di TUTTO.

Un pensiero in particolare vola verso la mia dolce **Nicoleta**, è sicuramente grazie all'affetto e le attenzioni che mi hai donato che sono riuscito a tenere dritto il timone ed arrivare qui oggi. Per terminare voglio ringraziare tutti i professori che negli ultimi 18 anni hanno guidato il mio cammino, loro che hanno sempre creduto in me e nelle mie capacità. Un ringraziamento più speciale va però alla mia professoressa e mentore **Beniamina Rauch** che fu la prima a vedere il mio potenziale e coltivarlo.

Oltre a lei ringrazio il mio relatore **Daniele Carnevale** che in questi anni universitari, da quando mi ha conosciuto, ha sempre creduto in me e mi ha permesso di fare esperienze che mai avevo immaginato.

Un sentito grazie a tutti voi.

Introduzione

Il capitolo introduttivo è generalmente lungo tre pagine (almeno due). Una buona introduzione può essere preparata secondo il seguente schema caratterizzante tre blocchi consecutivi:

1. *Introduzione generale all'ambito in cui si colloca la tesi* (più o meno partendo da "caro amico").

Ad esempio: "La robotica nasce dall'esigenza di sostituire l'uomo in quei lavori che... " eccetera.

2. *Collocazione della tesi nell'ambito generale sopra descritto*. Ad esempio: "Questo lavoro di tesi si colloca nel contesto dell'automazione domestica. In particolare, con riferimento a quanto sopra accennato, l'esigenza di".

3. *Descrizione schematica della struttura della relazione* (un paragrafo o poco più). Ad esempio:

"La tesi è strutturata come segue: nel Capitolo ?? viene discussa una ...,

Capitolo 1

Elementi Costitutivi

Se lo si desidera, utilizzare questo spazio per inserire un breve riassunto di ciò che verrà detto in questo capitolo. Inserire solo i punti salienti.

1.1 Trasformatore

La tesi va scritta usando la terza persona, per quanto possibile, tranne casi veramente eccezionali.

In inglese è piuttosto standard usare la prima persona (plurale) in testi tecnici. In italiano no.

1.2 Sensore di Corrente

Benché per gli obiettivi di controllo la lettura della corrente sul primario non è indispensabile, si è però preferito poter misurare cosa stia succedendo all'interno del sistema.

Per allo scopo di misurare la corrente è stato messo in serie al primario il sensore di Corrente Allegro,

High-Precision Linear Current Sensor Le scelte che hanno portato alla sua scelta sono:

Bandwidth:	120 kHz
Output rise time :	4.1 μs
Ultralow power loss:	100 $\mu\Omega$ Resistenza Interna
Single supply operation	4.5 to 5.5 V
Extremely stable output offset voltage	

Delle tante varianti presenti, si è scelto di usare la ACS770LCB-100B-PFF-T

Le caratteristiche chiave di questa variante sono:

Primary Sampled Current:	± 100 A
Sensitivity Sens (Typ.)	20(mV/A)
Current Directionality	Bidirectional
T_{OP}	-40 to 150 ($^{\circ}C$)

1.2.1 Metodo di acquisizione

asdasd

1.3 Driver di Corrente - IBT-2

Per l’attuazione del controllo di corrente nella bobina primaria del trasformatore, è stato usato il driver di corrente Handsontec, *BTS7960 High Current 43A H-Bridge Motor Driver* .

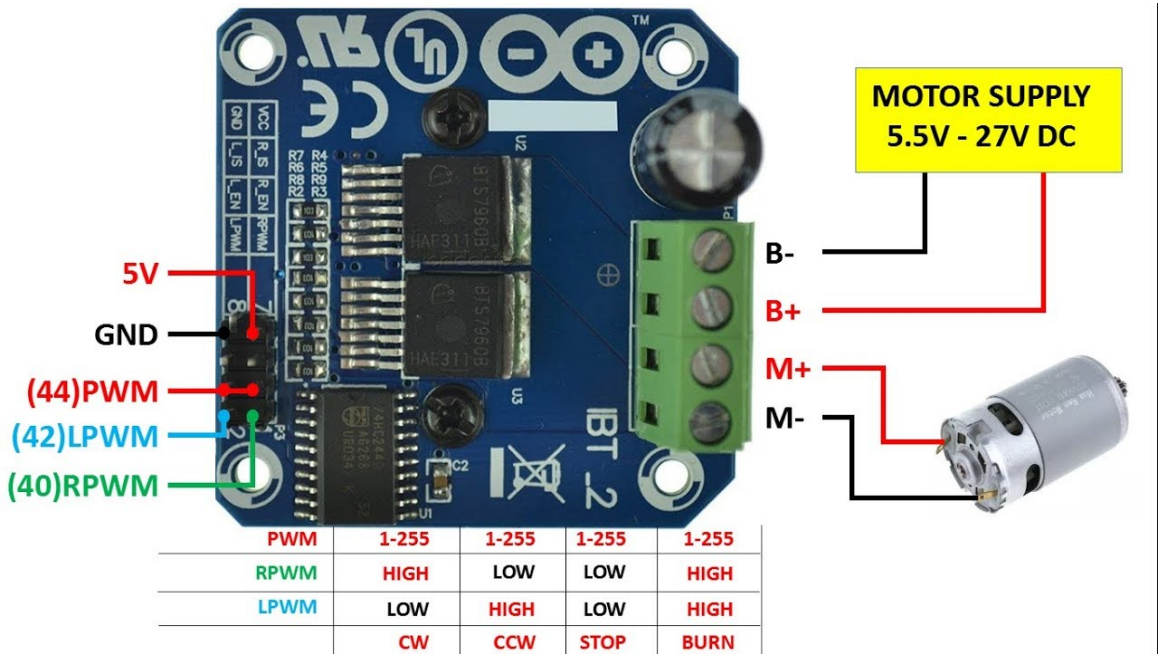


Figura 1.1: IBT-2 TopView.

Esso non è un comune Ponte-H integrato, per poter gestire potenze superiori è stato costruito usando 2 Half-Bridge collegati insieme mediante una opportuna logica per ricreare un normale Ponte-H. Questa scheda in particola ha prestazioni interessanti per gli scopi di questa tesi, i principali sono elencati di seguito:

Power Input Voltage:	6 – 27 V
Peak current:	43 A
Massima Frequenza di PWM:	25 kHz
Protezione Sovra Tensioni	
Disaccoppiamento Ingresso di Potenza/Logica di controllo	

Di particolare interesse per l’esperimento è proprio la corrente di picco gestibile: avendo le dinamiche del sistema tempi inferiori ai 5 secondi, poter reggere correnti di picco così elevate rende la scheda perfetta per i nostri scopi.

1.3.1 Connessione di Controllo

Il driver permette 2 modalità di funzionamento:

Doppio PWM Modalità operativa che richiede l'uso di 2 PWM

Ciascun PWM controlla uno dei 2 Half-Bridge, e per evitare di bruciare i driver devono essere controllati singolarmente, il vantaggio di questa configurazione è la possibilità di usare 2 frequenze di controllo diverse.

Singolo PWM Modalità operativa classica di un normale Ponte-H

In questa modalità, la porta nand presente sulla scheda attua la logica di controllo opportuna per governare i 2 Half-Brige come fossero un normale Ponte-H.

Per il nostro esperimento si è scelto di usare il collegamento Singolo PWM così da evitare spiacevoli sorprese e avere il PWM di controllo sempre sincronizzato.

1.3.2 Benchmark Driver

Il driver sulla carta à buone prestazioni, ma non sono descritte le sue Non-Linearità, per farle risaltare si sono effettuati 2 esperimenti usando differenti input di controllo:

1. Onda Triangolare Periodica

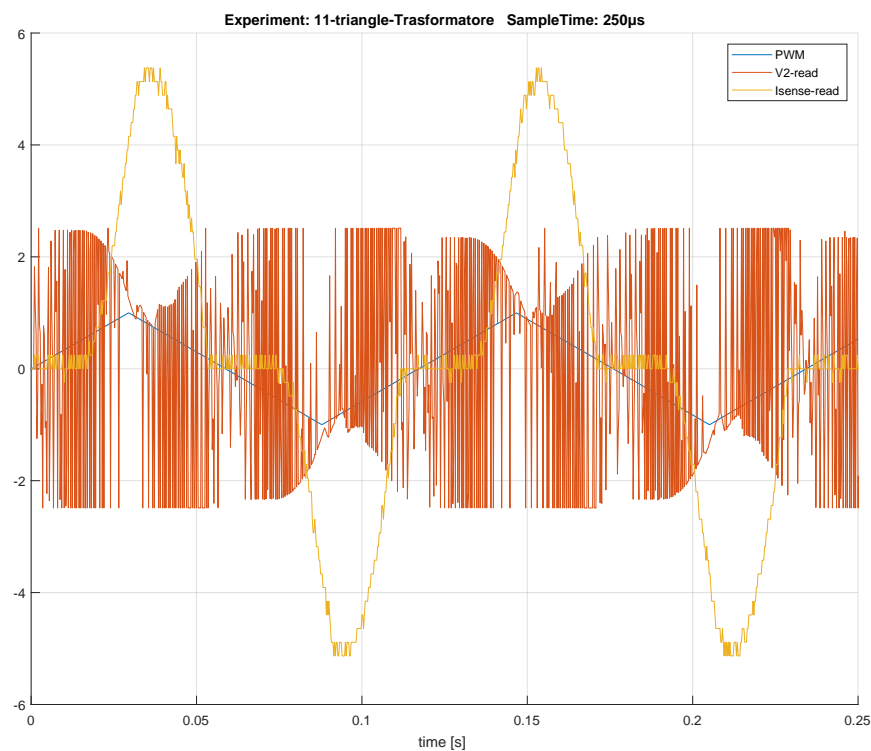


Figura 1.2: Onda Triangolare

Dead-Zone Inferiore L'onda triangolare si presta bene per far risaltare la problematica della Dead-Zone Inferiore, infatti in tutti gli intorno in cui il segnale passa per 0, è possibile vedere come la corrente non vari minimamente, è però possibile notare che i 2 lati non sono simmetrici tra di loro, questo è facilmente spiegabile dal fatto che il primo ha una condizione iniziale $\neq 0$ e di fatto stiamo ancora osservando l'esaurimento del transitorio, la soglia di Dead-Zone Inferiore è quindi calcolata vedendo il primo valore di PWM per cui il sistema risponde a destra degli 0.

2. Onda Trapezoidale Periodica

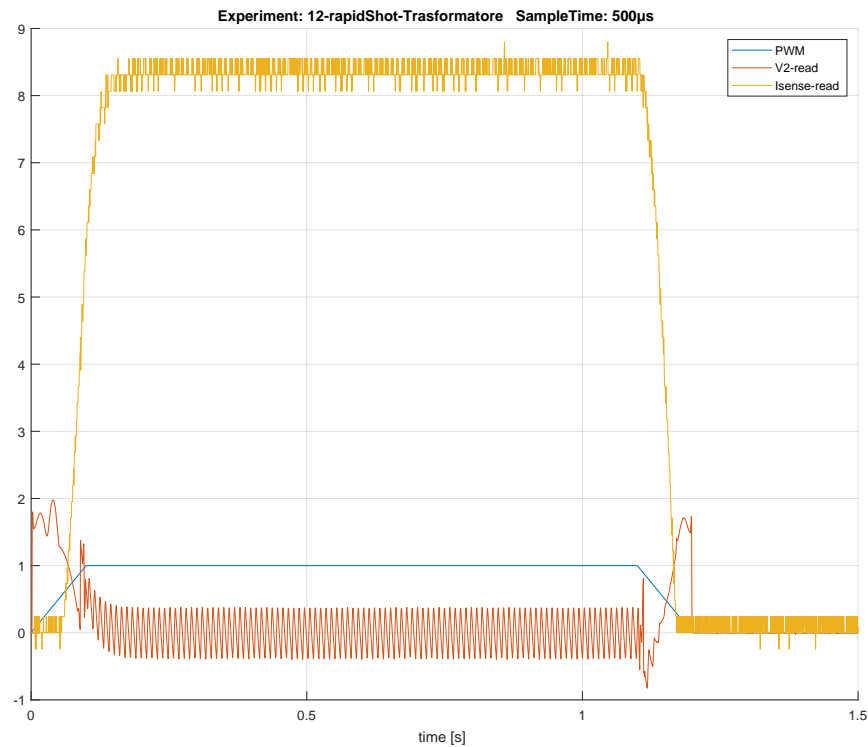


Figura 1.3: Onda Trapezoidale

Dead-Zone Superiore Con questo secondo segnale, si vuole mettere in evidenza il ritardo durante la discesa della rampa, pari a circa 20ms (*guarda 1.1s*), questo ritardo è in realtà dovuto da una seconda Dead-Zone presente però ai Duty-Cycle alti del PWM.

Disturbo 50Hz Essendo in oltre presente un segnale costante per un pò, quando i transistori terminano risulta evidente la presenza della 50hz nel segnale della corrente proveniente dall'alimentatore, questo disturbo è però dovuto alla fonte della corrente, ovvero la 220Vac del laboratorio, il medesimo esperimento realizzato con una batteria non ha disturbi così marcati.

Capitolo 2

Catena di Acquisizione

Se lo si desidera, utilizzare questo spazio per inserire un breve riassunto di ciò che verrà detto in questo capitolo. Inserire solo i punti salienti.

In cosa consiste la catena di acquisizione

2.1 Schema di acquisizione

2.1.1 Sample and Hold alla frequenza di campionamento

Descrivivo come a ogni tic i dati vengono catturati e inviati al computer

2.1.2 Storage su file delle informazioni

2.2 Embedded Message Pack (EMP)

2.2.1 Metodo di codifica

2.2.2 Struttura del codice

2.2.3 Benchmark

2.3 Post Elaborazione con Matlab

Capitolo 3

Modello teorico

Se lo si desidera, utilizzare questo spazio per inserire un breve riassunto di ciò che verrà detto in questo capitolo. Inserire solo i punti salienti.

3.1 Modellazione Fisica

3.2 Funzione di trasferimento

Capitolo 4

Controllo in Retroazione dall'uscita

Se lo si desidera, utilizzare questo spazio per inserire un breve riassunto di ciò che verrà detto in questo capitolo. Inserire solo i punti salienti.

4.1 Modello di controllore

4.2 Esperimenti

Capitolo 5

Conclusioni e sviluppi futuri

Inserire qui le conclusioni trovate con la tesi, ed eventualmente eventuali idee per sviluppi futuri.

Appendice A

Arduino Code

5.1 Set-up Registri

Tic Timer

```
1 void periodicTask(int time) { // time in micro secondi
2   // PWM pin Disable, modalita CTC(pt1)
3   TCCR2A = (0x0 << COM2A0) | (0x0 << COM2B0) | (0x2 << WGM20);
4   // CTC(pt2), Prescalere 256
5   TCCR2B = (0 << WGM22) | (0x6 << CS20);
6   // T_ckclock * Twant / Prescaler = valore Registro
7   OCR2A = (int)(16UL * time / 256);
8   TIMSK2 = (1 << OCIE2A); // attivo solo l'interrupt di OC2A
9 }
```

Listing 5.1: Tic Timer

Questa funzione imposta il TIMER2 in modalità Fast PWM, ovvero che si resetta quando arriva al conteggio finale, e calcola il valore da mettere nel registro affinché il conteggio sia il più vicino possibile a tempo desiderato

Frequenza PWM

```
1 enum pwmFreq: char {
2   hz30, hz120, hz490, hz4k, hz30k
3 };
4
5 void setMotFreq(pwmFreq freq) {
6   // TCCR0B is for Timer 0
7   #define myTimer TCCR0B
8   switch (freq) {
9     // set timer 3 divisor to 1024 for PWM frequency of 30.64 Hz
10    case hz30:
11      myTimer = (myTimer & B11111000) | B00000101;
12      break;
13    case hz120:
14      // set timer 3 divisor to 256 for PWM frequency of 122.55 Hz
15      myTimer = (myTimer & B11111000) | B00000100;
16      break;
17    case hz490:
18      // set timer 3 divisor to 64 for PWM frequency of 490.20 Hz
19      myTimer = (myTimer & B11111000) | B00000011;
```

```
20     break;
21     case hz4k:
22         // set timer 3 divisor to      8 for PWM frequency of  3921.16 Hz
23         myTimer = (myTimer & B11111000) | B00000010;
24         break;
25     case hz30k:
26         // set timer 3 divisor to      1 for PWM frequency of 31372.55 Hz
27         myTimer = (myTimer & B11111000) | B00000001;
28         break;
29     default:
30         setMotFreq(hz4k);
31         break;
32     }
33     #undef myTimer
34 }
```

Listing 5.2: Frequenza PWM

Mediante questa funzione si modifica il valore del Prescaler per il TIMER 0, modificando la velocità di conteggio si ottiene un PWM con una periodo, e quindi frequenza, che varia.

5.2 Generatore di Segnale

Per generare i segnali di controllo in Feed-Forward usati nel sistema, sono stati usati 2 diversi livelli di programmazione.

Un primo livello segnali di base, definiti su tutto \mathbb{R} , e usabili a piacere, e dei segnali composti e periodici da mandare durante l'esperimento. Tutti i segnali sono pensati per andare da -100% <-> 100%, è compito dell'attuazione eliminare le deadzone e traslare il controllo al valore più opportuno

5.2.1 Segnali Base

Rampa

```

1 int ramp(uint64_t t, int vStart, uint64_t tStart, int vEnd, uint64_t tEnd) {
2     // Saturazione
3     if (t < tStart)
4         return vStart;
5     else if (t > tEnd)
6         return vEnd;
7     // Retta
8     unsigned int dt = t - tStart;
9     return vStart + int((vEnd - vStart) / float(tEnd - tStart) * dt);
10 }

```

Listing 5.3: Rampa Saturata

La rampa è descritta come una retta nell'intervallo di interesse, saturata prima e dopo il tempo

desiderato

$$RampaSat(t) = \begin{cases} v_{start} + \frac{v_{end}-v_{start}}{t_{end}-t_{start}} * (t - t_{start}) & \forall t \in [t_{start}, t_{end}] \\ v_{start} & t < t_{start} \\ v_{end} & t > t_{start} \end{cases}$$

5.2.2 Segnali Composti

Onda Triangolare

```

1 int triangleSignal(uint64_t t, int msQuartPeriod) {
2     static uint64_t startTic = 0;
3     int dTic = t - startTic;
4     int pwm = 0;
5     if (dTic < ticConvert(msQuartPeriod))
6         pwm = ramp(dTic, 0, 0, 100, ticConvert(msQuartPeriod));
7     else if (dTic < (ticConvert(msQuartPeriod) * 3))
8         pwm = ramp(dTic, 100, ticConvert(msQuartPeriod), -100, ticConvert(msQuartPeriod)
9             * 3);
10    else if (dTic < (ticConvert(msQuartPeriod) * 4))
11        pwm = ramp(dTic, -100, ticConvert(msQuartPeriod) * 3, 0, ticConvert(msQuartPeriod)
12            * 4);
13    else {
14        pwm = 0;
15        startTic = t;
16    }
17    return pwm;
18 }
```

Listing 5.4: Onda Triangolare Periodica

Onda Trapezoidale

```

1 int rapidShot(uint64_t t) {
2     static uint64_t startTic = 0;
3     int pwmRapidShot;
4     long dTic = t - startTic;
5     if (dTic > t4) {
6         startTic = t;
7         pwmRapidShot = 0;
8         dTic = t - startTic;
9     }
10
11    if (dTic <= t1) {
12        pwmRapidShot = ramp(dTic, 0, 0, 100, t1);
13    } else if (dTic <= t2) {
14        pwmRapidShot = 100;
15    } else if (dTic <= t3) {
16        // falling ramp
17        pwmRapidShot = ramp(dTic, 100, t2, 0, t3);
18    } else if (dTic <= t4) {
19        pwmRapidShot = 0;
20    }
21    return pwmRapidShot;
22 }
```

Listing 5.5: Onda Trapezoidale Periodica

Appendice B

EMP Code

Appendice C

Matlab Post Elaborazione

Elenco delle figure

1.1	Driver Motori IBT-2 TopView & PinOut	6
1.2	Esperimento con Onda Triangolare	8
1.3	Esperimento con Onda Trapezoidale	9

Bibliografia

Allegro: High-Precision Linear Current Sensor**ACS770**

Allegro. *High-Precision Linear Current Sensor*. ACS770LCB-100B-PFF-T. Datasheet. 31 May 2019. URL: <https://www.allegromicro.com/~media/Files/Datasheets/ACS770-Datasheet.pdf>.

Handsontec: BTS7960 High Current 43A H-Bridge Motor Driver**IBT-2**

Handsontec. *BTS7960 High Current 43A H-Bridge Motor Driver*. Datasheet. 18 Sep 2019. URL: <https://www.handsontec.com/dataspecs/module/BTS7960%20Motor%20Driver.pdf>.